

京都大学大学院 学生員 滝田 正治  
 京都大学防災研究所 正員 芳田 和男  
 京都大学工学部 学生員 神田 昌幸

1. まえがき 粒子の浮遊条件式や浮遊砂量式を確立するためには、粒子の浮遊機構を明らかにする必要があるが、山地河川のように砾と砾の間に粒子が存在しているような場合には、特に粗面を対象にして議論しなければならない。それに関して、著者は粗面について粒子の浮遊限界を実験的に検討しているが<sup>1)</sup>、本研究では粒子の浮遊軌跡を撮影し浮遊機構を定性的に把握することも、それをモデル化し粒子の浮遊限界を理論的に明確にする。

## 2. 浮遊機構に関する実験 実験水路は幅30cm、長さ8m、勾配1/1000である。

上流端から2~6mの距離に粒径0.483cmの砾が貼付されている。砾の間に粒径0.142cmのポリスチレン粒子（比重1.05、沈降速度1.88cm/s）を敷き、単位幅流量39.7cm<sup>3</sup>/s、水深257cm、摩擦速度1.40cm/sの条件で浮遊砂を発生させて、ビデオ装置で図-1に示すような方法により粒子の3次元的な運動軌跡を撮影し、浮遊機構を次のように明らかにした。なお、以下の解析では流下、横断、鉛直方向をx、y、z軸と表わす。図-2は浮遊軌跡の一例を示したものであり、このように粒子は砾の間を若干移動したのち急激に小跳躍し、その過程中に浮遊する。これより、粒子を河床から浮上させる外力は揚圧力であり、小跳躍から浮遊させるのは河床付近からの上昇流による流体力であると考えられる。粒子の再浮上の時間間隔T<sub>s</sub>（図-2）とバースティングの平均周期T<sub>b</sub>（注：粗面での値はわからないので、滑面での値とした。）を比較した結果両者はよく一致しており、この浮上、浮遊時に粒子に働く力は、粗面でも存在が指摘されている<sup>2)</sup>バースティング現象と関連があると思われる。また、図-3は浮遊軌跡をy-z平面に投影したものの一例であるが、浮上、浮遊過程で粒子は横断方向にも変動しており、粒子の浮遊機構には並列せん流が影響していることが示唆される。

## 3. 浮遊機構に関する理論 上述の結果より、粒子は図-4に示すように揚圧力F<sub>0</sub>により小跳躍し、さらに河床付近からの上昇流によって浮遊すると考えられる。このような浮遊機構をTchenの粒子の運動方程式である(1)式を用いて鉛直方向に関して解析する。式中のF<sub>0</sub>、F<sub>L</sub>、Gは鉛直方向の流体力、揚圧力および水中重力であり、(2)~(4)式が表わされる。また、(1)式の初期条件は(5)式のようである。

$$\frac{\rho}{\rho_p} d^3 \left( 1 + \frac{P}{P_0} \right) \frac{dV_p}{dt} = F_0 + F_L + \frac{1}{2} C_D d^2 V_p^2 - G \quad \dots \dots (1) \quad F_0 = \frac{1}{2} C_D \rho (V - V_p) |V - V_p| \cdot \frac{\pi}{4} d^2 \quad \dots \dots (2)$$

$$F_L = \frac{\pi}{6} d^3 P \frac{dV}{dt} \quad \dots \dots (3) \quad G = \frac{\rho}{\rho_p} d^3 (1 - P) g \quad \dots \dots (4) \quad t = 0; \quad V = 0, \quad V_p = 0, \quad F_0 = 0 \quad \dots \dots (5)$$

ここで、d：粒径、P、P<sub>0</sub>：粒子および流体の密度、V<sub>p</sub>、V：粒子および流体の鉛直方向の速度、C<sub>D</sub>：抗力係数である。上式で粒子の運動をシミュレートすると、この式の適用の妥当性やF<sub>L</sub>の時間変化が問題であり、これに関して2で述べた浮上軌跡を用いて検討する。図-5, 6, 7はC<sub>D</sub>にStokes則<sup>3)</sup>を適用し、1/30秒毎の粒子の位置から上式によつてV、F<sub>0</sub>および浮上後1/30秒ごとのF<sub>L</sub>の値を推定し、その頻度分布を求めたものである。Vは平均の正規分布に従つているが標準偏差はV'≈2U<sub>0</sub>であり、粗面河床付近でV'≈4U<sub>0</sub>という知見と異なる。しかし、これは浮上軌跡のみからの推定値であり、V'が大きく評価されうることを考慮すればほぼ妥当であると思われ、上式で粒子の運動が解析できるものと考えられる。また、F<sub>L</sub>は平均の正規分布で表わされるが、その値は浮上後急激に減少しF<sub>L</sub>=0とおりても差しありない。

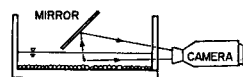


図-1 実験装置

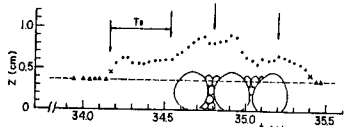


図-2 粒子の浮遊軌跡(z-t)

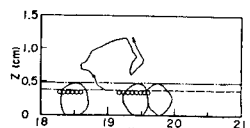


図-3 粒子の浮遊軌跡(y-z)

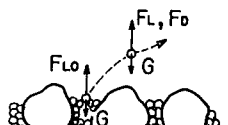


図-4 粒子の浮遊機構

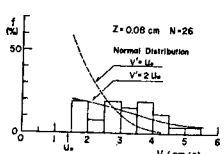


図-5 Vの頻度分布

次に、上式を用いて小跳躍について検討する。粒子の初期浮上速度 $v_{p0}$ は $F_L$ の作用時間 $\Delta t$ が $F_L$ の作用する厚さ $a_1 d$ との間の平均浮上速度 $a_2 v_{p0}$ の比で表わされるとすると(6)式から算定される。

$$(F_L - G) \cdot \Delta t = \frac{\pi}{6} d^3 \rho V_p v_{p0} \quad (\Delta t = \frac{a_1 d}{a_2 v_{p0}}) \cdots \cdots (6)$$

ここに、 $a_1, a_2$ :係数である。ここで、 $F_L$ は平均0の正規分布とし、その標準偏差 $F_L'$ は、 $PV^2 < d^2$ に比例し、 $V$ は礫の遮蔽効果を考慮して $V = k u_L$ とすると、 $F_L' = C \rho P u_L^2 d^2$  ( $C$ :定数、 $k$ :遮蔽係数)…(7)である。さらに、 $F_L = 0, F_L = \frac{1}{2} C \rho P (v_{p0} + \frac{1}{2} a_1 d)^2, C D = 2 + \frac{24 \pi}{\nu p d}$  (Rouseの半理論式)において(1)式を解くと小跳躍中の $v_L$ の変化や最大浮上高 $Z_{max}$ が計算される。これの妥当性を検証するために、前述した実験条件に対して $Z_{max}$ を計算し、実験値と比較したもののが図-9であり、両者はほぼ一致している。なお、 $a_1$ の値は粒子に働く鉛直方向の力 $F_Z$ の鉛直分布(図-8)を実験から求め、これから $0.5 < 1$ 、 $C$ は図-6より5.06、 $a_2$ は0.5とした。したがって、上式から小跳躍が解析できるものと思われ、 $v_{p0}$ の確率分布は  $f_{v_{p0}}(v_{p0}) = \int_0^\infty (-\frac{1}{\Delta t}) / (\frac{d v_{p0}}{d F_L}) \cdot f_{v_{p0}}(v_{p0}) dv_{p0}$  ……(8) で求められる。ここに、 $\Delta t$ :初速 $v_{p0}$ で浮上するときの1回の跳躍の所要時間、 $f_{v_{p0}}(v_{p0})$ : $v_{p0}$ の確率分布である。

以上の検討より、粒子が小跳躍から浮遊へ移行する過程は次式に(8)式や $V$ の確率分布を与えると検討できる。

$$\frac{\pi}{6} d^3 (1 + \frac{1}{2}) \frac{d v_{p0}}{d F_L} = \frac{1}{2} C \rho P |V - v_{p0}| (V - v_{p0}) \frac{\pi}{6} d^3 - G \cdots \cdots (9)$$

4. 粒子の浮遊限界 まず、粒子が河床から浮上する条件を検討する。河床粒子が $P_k (F_L > F_L' \text{ となる確率})$ 以上の確率で浮上する条件は $\mu F_L' > G$ であり、(7)式よりこの条件式は  $U_k^2 / s g d > \frac{\pi c}{6} \frac{1}{d C D}$  ……(10) となる。ここに、 $S = v_{p0} - 1$ である。(10)式で $C$ の値が問題であるが、粗面上の粒子の浮遊限界に関する実験結果が $\alpha = 3$ に対応するとしてその値を推定すると、 $C$ は図-10のよう粗面での粒子の存在高さ $d/(dr-a)$ と $d$ の関数となる。ここに、 $dr$ :粗度の粒径、 $a$ :粒子の堆積厚である。ただし、 $d = 163 \mu$ では $C$ は $1.76$ で一定であり、これより $d > 163 \mu$ では $C = 1.76$ とおく。 $d/(dr-a) = 0.05$ について、図-10から $C$ の値を推定して、 $\alpha = 3 (P_k = 0.13\%)$ に対する浮遊限界( $U_{kL}$ )の曲線を求めると図-11の点線のようになる。次に、浮遊条件は $d v_{p0} / d t = 0$ で表示できるものとする。 $V$ を平均0の正規分布を表わし、 $Z_{max}$ が $d$ の数倍であることを $V = U_L$ とすれば、(8)(9)式より小跳躍躍した粒子の浮遊確率が $P_k = 0.13\%, 16\%$ になる限界( $U_{kS}$ )を表わす曲線は、図-11の

実線のようになる。図-11には参考のため、限界掃流力 $T_{kL}$ と沈降速度 $w_s$ の曲線や浮遊限界に関する実験結果も示されている。この図より、(i)粒子はいかに小さくても遮蔽効果により限界掃流力以上にならなければ浮上しない。(ii)  $d$ が大きいときは、流送形態が主として掃流や小跳躍である領域があり、 $U_k^2 / s g d$ とともに浮遊砂が徐々に増加するのに対し、 $d$ が小さいときは、浮上し始めると急激に浮遊砂が増加し、流送形態が主として浮遊である。(iii)  $d$ が大きいとき、 $U_k = w_s$ は $P_k = 16\%$ にほぼ対応しており、 $U_k = w_s$ がいかに浮遊する条件であるのに対し、 $d$ が小さいとき、 $U_k = w_s$ では粒子は浮上させてもしないことがわかる。

5. あとがき 今後、河床の揚圧力 $F_L$ や粒子の浮上・浮遊現象とそれとの関連について、もし流計測等により、もう少し詳しく検討する必要があると思われる。

〔参考文献〕1) 芦田ら、粒子の浮遊限界に関する研究、第27回水講、1983, 2) たとえば Gross; J. Fluid Mech., vol. 50, pp233~255, 1971

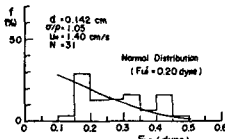


図-6  $F_L$  の頻度分布

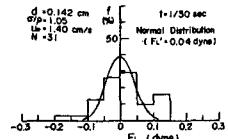


図-7 浮上後1/30秒後の $F_L$ の頻度分布

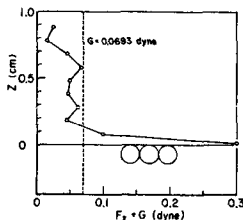


図-8  $F_Z$  の鉛直分布

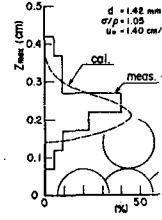


図-9  $Z_{max}$  の頻度分布

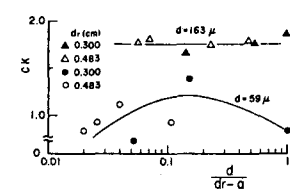


図-10  $C_D$  の  $\frac{d}{dr-a}$  による変化

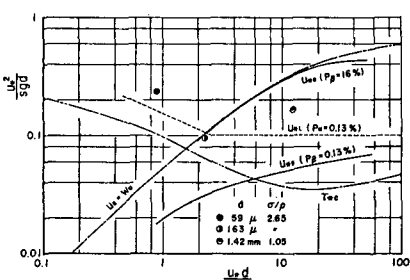


図-11 粒子の浮遊限界 ( $U_{kL}, U_{kS}$  の計算は、 $d/(dr-a) = 0.05$  の条件で行われている。)